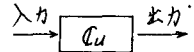


II-54 河道分布系と洪水流出の変換系

京都大学工学部 正員 ○高橋琢馬
京都大学大学院 学生員 横田擴二

洪水ピーク遅れのハイドログラフ特性の把握は、洪水の予知あるいは洪水調節方式の設置において重要である。本報文は、単位セルからの出力インパルスが、河道分布系のネットワーク構造、集水面積で代表されるナトリップ値の分散および流れの非線形性などの影響をうけて流下合流していく過程を洪水ピークの変換系とし、シミュレーションの合成過程を解析することによって、洪水ピーク遅れのハイドログラフ(HNP)の特性を明らかにしようとしたものである。

1. 河道分布系と洪水ピーク； 河道分布系は位数化(=ドムの集合) $C_1, C_2, \dots, C_u, \dots, C_k$ で表される。 C_u は位数 $u(C_u)$ の河道を意味し、 C_1 は単位セル、 C_k は流域最大流域の河道である。 C_u は、それがもつ合流点数によって層別化された要素(=ドム iC_u の集合)で、 $C_u = \{ \sum_{j=1}^{N_u-1} (iC_u) \}$ のようにな表現され、 iC_u は i の合流点をもつ C_u の河道である。 C_u は、入出力の立場からみると、 C_{u-1} の流出流量を入力とし、これを変換して C_u の出力すなわち C_{u+1} への流入流量を発生させる。

 洪水流出の変換系と考えることができる。 C_1 の洪水ピーク値をインパルスとす
 ると、 C_u ($u=2, 3, \dots, k$) の変換過程は C_u のネットワーク構造、 C_u のメトトリップ
 値の分布および iC_u 内におけるパルスの流下合流過程の三つの事象からなる複合事象である。パルス
 の集合である C_u の流出ピークは、三つの事象によって時間軸上に広がりをもったパルス周数となり、
 これは洪水ピーク遅れのハイドログラフ HNP に等しいと考えられる。

2. 河道分布系の統計的性状； 1) 河道分布則、前述のように定義されたドムには、
 つぎのようほ三つの統計則の成り立つことが知られている。

$$\frac{1}{4} \text{ 則}; N(C_u)/N(C_{u+1}) = 4, \quad \frac{1}{2} \text{ 則}; N(iC_u)/N(C_u) = \left(\frac{1}{2}\right)^i, \quad (i=1, 2, \dots, N_u-1)$$

$$\frac{3}{4} \text{ 則}; N(C_u)/N(C_{u+1}) = \frac{3}{4} \cdot \left(\frac{1}{4}\right)^{u-u-1}, \quad (u=u+1, u+2, \dots, k)$$

$= N(C_u), N(C_u)$ および $N(vC_u)$ は、それぞれ C_u のドム数、合流点 i をもつ C_u のドム数
 および C_{u+1} 以上のドム数である。 C_u のドム数である。この三つの統計則は、河道分布のネットワーク
 の構造を示すものであり、以下ではシミュレーションが収束に成立するとして議論を進める。

2) ネットワークナトリップ値の特性、ネットワークに関する特性として平均と分散を求めると、
 $E(N(u+1|C_u)) = 3, \quad \text{Var}(N(u+1|C_u)) = 2$ のようになる。これはまた、 C_u から C_{u+1} への入力の数の平均
 と分散である。つまり、洪水ピークにもともと関連のあるナトリップ値として集水面積の分布特性に
 ついて考える。 C_u から iC_u に付属する集水面積を A_u および A_{ui} すれば、位数化ドムの定義によ
 って、 $A_{u+1} = \{ A_{u+1,i} \} = \{ j \cdot \alpha A_u \}$ $= N_u$ 、 j は iC_u に接続する A_u の数である。したがって、確率
 变量 A_{u+1} の分布は、河道分布則と A_u 自身の分布特性によって構成される複合分布となるはずであり、
 その確率分布 $P(A_{u+1})$ は、 $P(A_{u+1}) = \sum_{j=1}^{N_u} P(n=j) P(j \cdot \alpha A_u)$ で与えられる。 $= N_u, N_u = N(C_u), \alpha$
 は面積配分係数であり $\alpha = Ra/3$ (Ra : 集水面積) である。上の分布から、 $E(A_{u+1}) = E(j) \cdot E(\alpha A_u)$ 、 $\text{Var}(A_{u+1}) = \text{Var}(j) E^2(\alpha A_u) + \text{Var}(\alpha A_u) E^2(j)$ の関係が得られるから、ネットワーク
 の特性を考慮すれば、

$$E(A_{u+1}) = 3 \cdot E(\alpha A_u) \quad \text{Var}(A_{u+1}) = 2 E^2(\alpha A_u) + 9 \text{Var}(\alpha A_u)$$

これは、 A_u の変動係数 C_{A_u} は、

$$C_{A_{u+1}} = \sqrt{\frac{2}{9} + C_{A_u}^2} = \sqrt{\frac{2}{9} u + C_{A_1}^2}$$

で与えられる。

3. 淀水 $\pi - 1$ とそれに対する対応： 1) 淀水 $\pi - 1$ の生起時刻の期待値； C_u の出力パルス関数の最大値とその生起時刻の期待値 $E(\theta_{pu})$ と $E(T_{pu})$ は、河道分布則によると、 $E(\theta_{pu}) = \alpha(2 + p_{u-1})E(\theta_{pu-1})$, $E(T_{pu}) = E(T_{pu-1}) + 2\bar{T}_{u-1}$ で与えられる。すなはち p_{u-1} は C_u 内のパルス合流率、 \bar{T}_{u-1} は C_u 内の合流点間の $\pi - 1$ の平均伝達時間である。特性曲線理論から、 $\bar{T}_{u-1} = p \bar{T}_{u-1} K_{u-1} / E^2(\theta_{pu})$ である、 $p = 0.6$, \bar{T}_{u-1} は C_u の合流点の平均間隔である。 K_{u-1} は C_u の粗度・勾配の関数である、 $K_{u-1} = (\bar{T}_{u-1} \bar{S}_{u-1}^{2/3} / \sin \theta_{u-1})^p$ で表わされ、 \bar{T}_{u-1} , \bar{S}_{u-1} および $\sin \theta_{u-1}$ はそれを C_u の平均の粗度、渦延長および勾配である。
- 2) θ_{pu} と T_{pu} の対応関係； iC_{u+1} の出力パルスの振幅 $\theta_{pu+1,i}$ とその時刻 $T_{pu+1,i}$ は、係数化 $1 - 1$ の関係によると $\pi \neq 1$ における $\theta_{pu+1,i} = (i+1)\alpha E(\theta_{pu})$, $T_{pu+1,i} - E(T_{pu}) = i\bar{T}_u$, i を消去すれば、 $\theta_{pu+1} = \eta_{u+1} T_{pu+1} + C_{u+1}$ の関係が得られる。すなはち、 $\eta_{u+1} = E(\theta_{pu})/\bar{T}_u$, $C_{u+1} = (1 - E(T_{pu})/\bar{T}_u)E(\theta_{pu})$ である。この関係は変換系を各係数の $1 - 1$ と π lumping して、それを π の要素 $1 - 1$ 間ではパルスの伝播速度を等しいとみなした近似的るものである。こうした仮定をすれば、パルス関数の振幅と時刻は biunique かつ一次の関係である。

- 3) パルス関数の分散； パルス関数の振幅 θ_{pu+1} は要素 $1 - 1$ の出力パルス $\theta_{pu+1,i}$ の集合であり、 $\theta_{pu+1} = \{\theta_{pu+1,i}\}$ である。したがって、パルス関数の確率分布は $\pi \neq 1$ における、

$$P_r(\theta_{pu+1}) = \sum_{i=1}^{N_u-1} \left(\frac{1}{N_u}\right)^2 P_r((i+1)\alpha \theta_{pu})$$

である。振幅中の分散は、 $\text{Var}(\theta_{pu+1}) = 2 E(\alpha \theta_{pu}) + 9 \text{Var}(\alpha \theta_{pu})$, 变動係数は $C_{\theta_{pu+1}} = \sqrt{2u/9 + C_{\theta_{pu}}^2}$ となる。降雨の地域分布が一様と仮定すれば、 $C_{\theta_{pu}}^2 \approx C_{A_1}^2$ 。したがって、 $C_{\theta_{pu+1}} = C_{A_{u+1}}$ 。一方、 $\theta_{pu+1} \sim T_{pu+1}$ の関係から $\text{Var}(\theta_{pu+1}) = \eta_u^2 \text{Var}(T_{pu+1})$ となる。したがって、振幅の分散を時間軸上に書きかえることができる。

4. 淀水 $\pi - 1$ 近似のハイドログラフ： C_u から iC_{u+1} への入力パルス関数 θ_{pu} の確率分布は、 A_u の確率分布は両者の対応関係を有するれば同様であると近似できる。また、 A_u の分布特性は、対数正規であることが実証されているが、簡単のために、パルス関数の最大値付近での θ_{pu} の確率分布を正規とする。こうして仮定をすれば、 $\theta_{pu} \sim T_{pu}$ の biunique および一次比例の対応関係によると、時間軸上でのパルス関数 $\theta_{pu}(T_{pu})$ は、 $\theta_{pu} = E(\theta_{pu}) \exp\{-[(T_{pu} - E(T_{pu}))^2 / 2\sigma_{\theta_{pu}}^2]\}$ で表わされる。

これは、HNP と同様であるが、標準偏差 $\sigma_{\theta_{pu}}$ はパルスの時間軸上での有効中である、すなはち、 $|E(T_{pu}) - T_{pu}| \leq \sigma_{\theta_{pu}}$ での淀水波形を不ずつと考へて必要である。

波形の尺度の尺度として $\sigma_{\theta_{pu}} / E(\theta_{pu})$ をとる。

$\sigma_{\theta_{pu}} / E(\theta_{pu}) = \sigma_{\theta_{pu}} / \eta_u E(\theta_{pu}) = C_{A_u} / \eta_u = (R_L / R_k \cdot R_d^{1+\epsilon})^{u-2} \sqrt{2u/9 + C_{A_1}^2} / \eta_u$ となる。河道長 R_L 、粗度・勾配 $R_k (= R_d / R_{u+1})$ 、集水面積 R_d 、 C_1 の集水面積の変動係数、 C_2 の河漫帯、粗度・勾配 ϵ および C_1 の出力平均による表現式で、また、係数の関連を知りうる。しかし、位置地点の淀水の推進法則の一因淀水流速と流域地形の結果などについても詳説せば述べる。